

Лекция 4. Анализ характеристик упругости и напряженно-деформированного состояния монослоёв в многослойном композиционном материале со схемой армирования $[(\pm\varphi)_m / 90_k^0]$

При изготовлении ряда конструкций из многослойных композитов часто применяется материала со схемой армирования $[(\pm\varphi)_m / 90_k^0]$. Как правило, рассматриваемый материал формируется в процессе непрерывной намотки. Элемент такого материала показан на рис.1.9. В случае если толщина монослоя h_0 постоянная, то его схему армирования можно задать так: $n=3$, $h_1=h_2=h_c/2$, где $h_c=2mh_0$, $\varphi_1=-\varphi_2=\varphi$, $h_3=h_k=kh_0$, $\varphi_3=90^\circ$, где h_c – суммарная толщина композита с симметричным перекрёстным армированием, или двойного спирального слоя, h_k – суммарная толщина материала, ориентированного под углом 90° к базовому направлению, или кольцевого слоя. Используя алгоритм расчёта напряжений и деформаций в монослоях, приведённый в лекции №3, выполним анализ характеристик упругости и напряжённо-деформированного состояния монослоёв для случая двухосного растяжения. Для наглядности анализ будем проводить как с учётом несущей способности связующего так и без такового, т.е. по нитяной модели. При сравнении полученных решений это позволит

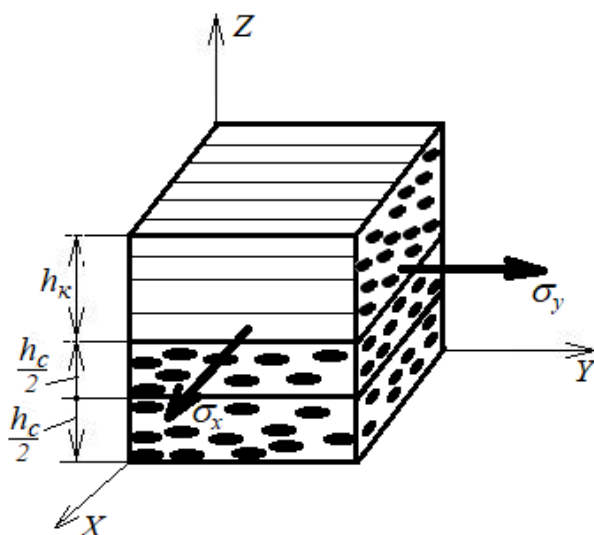


Рис.1.9. Элемент многослойного композита со схемой армирования

$[(\pm\varphi)_m / 90_k^0]$ при двухосном растяжении

оценить особенности применения нитяной модели, которая часто востребована при проведении проектных расчётов элементов конструкций из КМ.

Для расчёта элементов матрицы жёсткости материала с применением нитяной модели воспользуемся равенствами (1.26) из лекции №2. Полагая, что все монослои изготовлены из одинаковых компонент, будем иметь

$$\begin{aligned} g_{xx} &= \sum_{i=1}^3 E_1 \cos^4 \varphi_i \delta_i = E_1 \cos^4 \varphi \cdot \frac{\delta_c}{2} + E_1 \cos^4 \varphi \cdot \frac{\delta_c}{2} = E_1 \delta_c \cos^4 \varphi, \\ g_{yy} &= \sum_{i=1}^3 E_1 \sin^4 \varphi_i \delta_i = E_1 \sin^4 \varphi \cdot \frac{\delta_c}{2} + E_1 \sin^4 \varphi \cdot \frac{\delta_c}{2} + E_1 \sin^4 \frac{\pi}{2} \delta_k = E_1 \delta_c \sin^4 \varphi + E_1 \delta_k, \\ g_{xy} = g_{\eta} &= \sum_{i=1}^3 E_1 \sin^2 \varphi_i \cos^2 \varphi_i \delta_i = E_1 \sin^2 \varphi \cos^2 \varphi \cdot \frac{\delta_c}{2} \cdot 2 = E_1 \delta_c \sin^2 \varphi \cos^2 \varphi. \end{aligned}$$

Таким образом, матрица жёсткости материала будет иметь такой вид

$$[G_c] = E_1 \begin{bmatrix} \delta_c \cos^4 \varphi & \delta_c \sin^2 \varphi \cos^2 \varphi & 0 \\ \delta_c \sin^2 \varphi \cos^2 \varphi & \delta_c \sin^4 \varphi + \delta_k & 0 \\ 0 & 0 & \delta_c \sin^2 \varphi \cos^2 \varphi \end{bmatrix}. \quad (1.33)$$

При выполнении расчётов полезно рассмотреть частные случаи. Пусть $\varphi=0^\circ$, т.е. имеем материал с продольно-поперечным армированием. Тогда будем иметь $g_{xx} = E_1 \delta_c$, $g_{yy} = E_1 \delta_k$, $g_{xy} = g_{\eta} = 0$. Этот результат согласуется с формулами (1.28) в случае нитяной модели и одинакового материала для обоих монослоёв. Если $\varphi=90^\circ$, то имеем по сути однонаправленный материал. Тогда в соответствии с нитяной моделью следует, что $g_{xx} = g_{xy} = g_{\eta} = 0$, $g_{yy} = E_1$.

Обратим матрицу (1.33). Находим параметр Δ . Получим

$$\begin{aligned} \Delta &= g_{xx} g_{yy} - g_{xy}^2 = E_1 \delta_c \cos^4 \varphi \cdot E_1 (\delta_c \sin^4 \varphi + \delta_k) - (E_1 \delta_c \sin^2 \varphi \cos^2 \varphi)^2 = \\ &= E_1^2 \delta_c \delta_k \cos^4 \varphi. \end{aligned}$$

Тогда будем иметь

$$[S_c] = \frac{1}{E_1} \begin{bmatrix} \frac{\delta_c \sin^4 \varphi + \delta_k}{\delta_c \delta_k \cos^4 \varphi} & -\frac{\delta_c \sin^2 \varphi \cos^2 \varphi}{\delta_c \delta_k \cos^4 \varphi} & 0 \\ -\frac{\delta_c \sin^2 \varphi \cos^2 \varphi}{\delta_c \delta_k \cos^4 \varphi} & \frac{\delta_c \cos^4 \varphi}{\delta_c \delta_k \cos^4 \varphi} & 0 \\ 0 & 0 & \frac{1}{\delta_c \sin^2 \varphi \cos^2 \varphi} \end{bmatrix}.$$

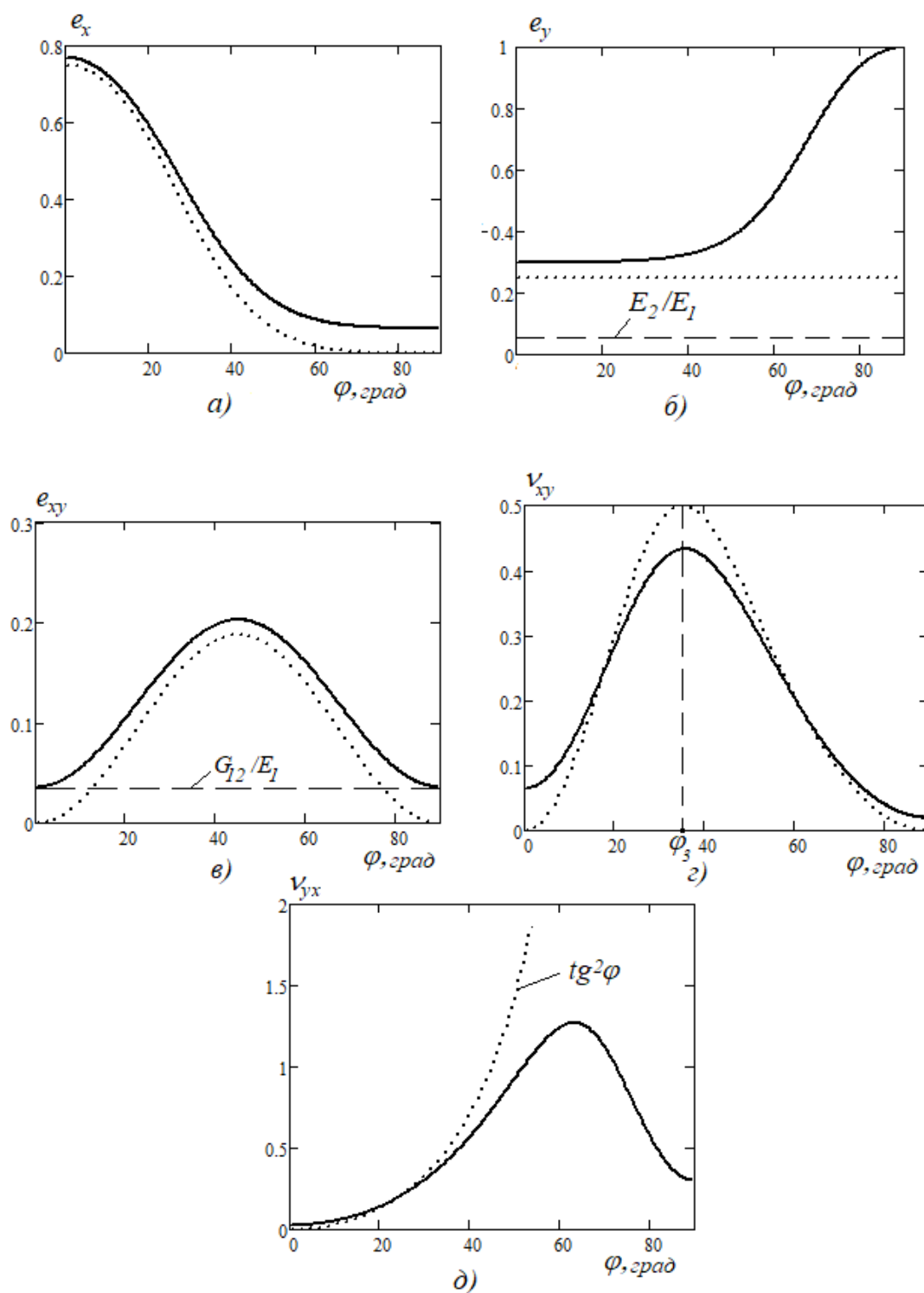


Рис.1.10. Графики зависимости приведённых технических характеристик упругости многослойного композита со схемой армирования $[(\pm\varphi)_m / 90_k^0]$

от угла φ при $\delta_c=0,75$, $\delta_k=0,25$

(— — с учётом несущей способности связующего, — нитяная модель)

После очевидных преобразований приходим к следующему виду матрицы податливости

$$[S_c] = \frac{1}{E_1} \begin{bmatrix} \frac{\delta_c \sin^4 \varphi + \delta_k}{\delta_c \delta_k \cos^4 \varphi} & -\frac{\sin^2 \varphi}{\delta_k \cos^2 \varphi} & 0 \\ -\frac{\sin^2 \varphi}{\delta_k \cos^2 \varphi} & \frac{1}{\delta_k} & 0 \\ 0 & 0 & \frac{1}{\delta_c \sin^2 \varphi \cos^2 \varphi} \end{bmatrix}. \quad (1.34)$$

Выражения для технических характеристик упругости можно определить по следующим формулам

$$E_x = E_1 \frac{\delta_c \delta_k \cos^4 \varphi}{\delta_c \sin^4 \varphi + \delta_k}, \quad E_y = E_1 \delta_k, \quad G_{xy} = E_1 \delta_c \sin^2 \varphi \cos^2 \varphi, \quad (1.35)$$

$$\nu_{xy} = \frac{\delta_c \sin^2 \varphi \cos^2 \varphi}{\delta_c \sin^4 \varphi + \delta_k}, \quad \nu_{yx} = tg^2 \varphi.$$

На рис.1.10 для случая $\delta_c=0,75$, $\delta_k=0,25$ представлены графики зависимости приведённых технических характеристик упругости рассматриваемого КМ, где модули упругости нормированы по величине E_1 , т.е. на графиках указаны такие параметры $e_x=E_x/E_1$, $e_y=E_y/E_1$, $e_{xy}=G_{xy}/E_1$. Анализируя полученные результаты можно сделать следующие выводы:

- 1) нитяная модель качественно верно предсказывает зависимость модулей упругости E_x , G_{xy} и коэффициента Пуассона ν_{xy} от угла армирования φ ;
- 2) для модуля упругости E_y и коэффициента Пуассона ν_{yx} неучёт несущей способности связующего приводит к удовлетворительному совпадению результатов для угла армирования φ , не превышающего значение $\approx 40^\circ$, для других значений угла результаты качественно не совпадают;
- 3) зависимости $G_{xy}(\varphi)$, $\nu_{xy}(\varphi)$ и $\nu_{yx}(\varphi)$ изменяются немонотонно, они имеют выраженную точку экстремума; при проектировании элементов конструкций из КМ это свойство может быть использовано.

Определим экстремальное значение коэффициента Пуассона ν_{xy} . Для этого представим его так $\nu_{xy} = \delta_c f(\varphi)$, где

$$f(\varphi) = \frac{\sin^2 2\varphi}{4(\delta_c \sin^4 \varphi + \delta_k)}.$$

Далее находим

$$\begin{aligned} \frac{df}{d\varphi} &= \frac{2 \sin 2\varphi \cos 2\varphi \cdot 2(\delta_c \sin^4 \varphi + \delta_k) - \sin^2 2\varphi \cdot 4\delta_c \sin^3 \varphi \cos \varphi}{4(\delta_c \sin^4 \varphi + \delta_k)^2} = \\ &= \sin 2\varphi \frac{(\delta_c \sin^4 \varphi + \delta_k) \cos 2\varphi - \delta_c \sin^3 \varphi \cos \varphi \sin 2\varphi}{(\delta_c \sin^4 \varphi + \delta_k)^2} = \\ &= \frac{\sin 2\varphi}{(\delta_c \sin^4 \varphi + \delta_k)^2} [\delta_c \sin^4 \varphi (\cos 2\varphi - 2 \cos^2 \varphi) + \delta_k \cos 2\varphi] \\ &= \frac{\sin 2\varphi}{(\delta_c \sin^4 \varphi + \delta_k)^2} (\delta_k \cos 2\varphi - \delta_c \sin^4 \varphi). \end{aligned}$$

Отсюда видно, что точками экстремума являются значения $\varphi_{1,2}=0, \pi/2$, а также корень уравнения $\delta_k \cos 2\varphi_3 - \delta_c \sin^4 \varphi_3 = 0$. Решим это уравнение, предварительно записав его так

$$\delta_c \sin^4 \varphi_3 + 2\delta_k \sin^2 \varphi_3 - \delta_k = 0. \quad (1.36)$$

Решая уравнение (1.36) как квадратное относительно положительной величины $\sin^2 \varphi_3$, получим

$$\sin^2 \varphi_3 = \sqrt{\left(\frac{\delta_k}{\delta_c}\right)^2 + \frac{\delta_k}{\delta_c}} - \frac{\delta_k}{\delta_c}. \quad (1.37)$$

Таким образом, ещё одно значение угла армирования φ , при котором коэффициент Пуассона $\nu_{xy}(\varphi)$ принимает экстремальное значение, можно определить по формуле (1.37). Можно показать, что выражение, стоящее справа от знака равенства в (1.37) при любом соотношении относительных толщин меньше, чем 1. Кроме этого, из полученной зависимости (1.37) следует, что для применяемых волокнистых КМ всегда должно быть $\varphi_3 < \pi/4$.

Определим экстремальные значения коэффициента Пуассона $\nu_{xy}^* = \nu_{xy}(\varphi_3)$. Для этого воспользуемся формулой для $\nu_{xy}(\varphi)$ из (1.35) и равенствами (1.36), (1.37). Учтём, что согласно формуле (1.36) $\delta_c \sin^4 \varphi_3 = \delta_k - 2\delta_k \sin^2 \varphi_3$. Тогда можно записать равенства

$$\nu_{xy}^* = \frac{\delta_c \sin^2 \varphi_3 \cos^2 \varphi_3}{\delta_c \sin^4 \varphi_3 + \delta_k} = \frac{\delta_c \sin^2 \varphi_3 \cos^2 \varphi_3}{\delta_k - 2\delta_k \sin^2 \varphi_3 + \delta_k} = \frac{\delta_c \sin^2 \varphi_3}{2\delta_k}.$$

Подставляя в это равенство зависимость (1.37), после несложных преобразований окончательно будем иметь формулу для определения экстремального значения

$$\nu_{xy}^* = \frac{1}{2} \left[\sqrt{1 + \frac{\delta_c}{\delta_k}} - 1 \right]. \quad (1.38)$$

Формулы (1.37) и (1.38) могут быть использованы при прогнозировании максимального значения коэффициента Пуассона ν_{xy} для многослойных КМ со схемой армирования $[(\pm\varphi)_m / 90_k^0]$. Для рассматриваемого материала получим $\varphi_3 \approx 35,3^\circ$, $\nu_{xy}^* = 0,5$.

Определим теперь напряжения в монослоях, предполагая, что вектор средних напряжений, действующих на материал, имеет вид $\{\sigma_c\} = (\sigma_x, \sigma_y, \tau_{xy})^T$.

На основании формулы $\{\varepsilon_c\} = [S_c] \{\sigma_c\}$, а также матрицы (1.34) будем иметь

$$\begin{aligned} \varepsilon_x &= \frac{\delta_c \sin^4 \varphi + \delta_k}{\delta_c \delta_k \cos^4 \varphi} \frac{\sigma_x}{E_1} - \frac{tg^2 \varphi}{\delta_k} \frac{\sigma_y}{E_1} = \frac{\delta_k \sigma_x - \delta_c \sin^2 \varphi (\sigma_y \cos^2 \varphi - \sigma_x \sin^2 \varphi)}{E_1 \delta_k \delta_c \cos^4 \varphi}, \\ \varepsilon_y &= \frac{-\sigma_x tg^2 \varphi + \sigma_y}{E_1 \delta_k} = \frac{\sigma_y \cos^2 \varphi - \sigma_x \sin^2 \varphi}{E_1 \delta_k \cos^2 \varphi}, \\ \gamma_{xy} &= \frac{\tau_{xy}}{E_1 \delta_c \cos^2 \varphi \sin^2 \varphi}. \end{aligned}$$

Далее будем рассматривать практически важный случай, когда $\tau_{xy} = 0$. Такое напряженное состояние имеет место, например, при нагружении композитного баллона внутренним давлением.

В соответствии с ранее сформулированным алгоритмом расчёта напряжений и деформаций в монослоях многослойного КМ используем формулу

$\{\varepsilon_i\} = [T_{2i}]^{-1} \{\varepsilon_c\}$, где

$$[T_{2i}]^{-1} = \begin{bmatrix} \cos^2 \varphi_i & \sin^2 \varphi_i & -\sin \varphi_i \cos \varphi_i \\ \sin^2 \varphi_i & \cos^2 \varphi_i & \sin \varphi_i \cos \varphi_i \\ \sin 2\varphi_i & -\sin 2\varphi_i & \cos 2\varphi_i \end{bmatrix}.$$

При $\varphi_1 = \varphi$ будем иметь

$$\begin{aligned}
\varepsilon_{11}^{(1)} &= \frac{\delta_k \sigma_x - \delta_c \sin^2 \varphi (\sigma_y \cos^2 \varphi - \sigma_x \sin^2 \varphi)}{E_1 \delta_k \delta_c \cos^4 \varphi} \cos^2 \varphi + \frac{\sigma_y \cos^2 \varphi - \sigma_x \sin^2 \varphi}{E_1 \delta_k \cos^2 \varphi} \sin^2 \varphi = \\
&= \frac{\sigma_x}{E_1 \delta_c \cos^2 \varphi}, \\
\varepsilon_{22}^{(1)} &= \frac{\delta_k \sigma_x - \delta_c \sin^2 \varphi (\sigma_y \cos^2 \varphi - \sigma_x \sin^2 \varphi)}{E_1 \delta_k \delta_c \cos^4 \varphi} \sin^2 \varphi + \frac{\sigma_y \cos^2 \varphi - \sigma_x \sin^2 \varphi}{E_1 \delta_k \cos^2 \varphi} \cos^2 \varphi = \\
&= \frac{\delta_k \sigma_x \sin^2 \varphi + \delta_c \cos 2\varphi (\sigma_y \cos^2 \varphi - \sigma_x \sin^2 \varphi)}{E_1 \delta_k \delta_c \cos^4 \varphi}, \\
\gamma_{12}^{(1)} &= \left[\frac{\delta_k \sigma_x - \delta_c \sin^2 \varphi (\sigma_y \cos^2 \varphi - \sigma_x \sin^2 \varphi)}{E_1 \delta_k \delta_c \cos^4 \varphi} - \frac{\sigma_y \cos^2 \varphi - \sigma_x \sin^2 \varphi}{E_1 \delta_k \cos^2 \varphi} \right] \sin 2\varphi = \\
&= \frac{\delta_k \sigma_x - \delta_c (\sigma_y \cos^2 \varphi - \sigma_x \sin^2 \varphi)}{E_1 \delta_k \delta_c \cos^4 \varphi} \sin 2\varphi.
\end{aligned}$$

Используя полученные равенства, нетрудно заметить, что при $\varphi_2 = -\varphi$ следуют соотношения $\varepsilon_{11}^{(2)} = \varepsilon_{11}^{(1)}$, $\varepsilon_{22}^{(2)} = \varepsilon_{22}^{(1)}$, $\gamma_{12}^{(2)} = -\gamma_{12}^{(1)}$. Для монослоя с углом армирования $\varphi_3 = \pi/2$ получим $\varepsilon_{11}^{(3)} = \varepsilon_y$, $\varepsilon_{22}^{(3)} = \varepsilon_x$, $\gamma_{12}^{(3)} = 0$.

Определим теперь напряжения в монослоях. Решение задачи существенно упрощается, так как в соответствии с нитяной моделью нормальные напряжения, действующие в направлении поперёк волокон, и касательные напряжения в плоскости армирования равны нулю. Тогда будем иметь такой результат

$$\begin{aligned}
\sigma_{11}^{(1)} &= E_1 \varepsilon_{11}^{(1)} = \frac{\sigma_x}{\delta_c \cos^2 \varphi}, \quad \sigma_{11}^{(2)} = \sigma_{11}^{(1)}, \\
\sigma_{11}^{(3)} &= E_1 \varepsilon_y = \frac{\sigma_y \cos^2 \varphi - \sigma_x \sin^2 \varphi}{\delta_k \cos^2 \varphi}.
\end{aligned} \tag{1.39}$$

Обращает внимание на себя тот факт, что при $\varphi \rightarrow \pi/2$ получили $\sigma_{11}^{(1)} \rightarrow \infty$ и $\sigma_{11}^{(3)} \rightarrow \infty$, что не может соответствовать действительности. Это следствие упрощений, свойственных нитяной модели.

Выполним анализ напряжений в монослоях. При этом будем использовать формулы (1.39), а также зависимости для напряжений, рассчитанные с учётом несущей способности связующего, т.е. в случае, когда

$E_2 \neq 0$, $G_{12} \neq 0$, $\nu_{12} \neq 0$, $\nu_{21} \neq 0$. В последнем случае их проще всего получить численно. По прежнему полагаем, что $\delta_c=0,75$, $\delta_k=0,25$. Кроме этого, рассматриваем частный случай, когда $\sigma_x = \sigma_0$, $\sigma_y = 2\sigma_0$. Как отмечалось ранее, такое соотношение между средними напряжениями имеет место при нагружении композитного баллона внутренним давлением.

Результаты расчёта представлены на рис.1.11. На графиках приведены нормированные значения напряжений, например, $s_{11}^{(1)} = \sigma_{11}^{(1)} / \sigma_0$. Как видно из рис.1.11, значения напряжений, определённые с учётом несущей способности, существенно отличаются от данных, полученных с применением нитяной модели. В случае применения нитяной модели, как и было отмечено выше, получили, что при $\varphi \rightarrow \pi / 2$ следует $\sigma_{11}^{(1)} \rightarrow \infty$ и $\sigma_{11}^{(3)} \rightarrow \infty$. Качественное совпадение результатов получается для угла армирования φ примерно на интервале от 0° до 40° . При этом нормальные напряжения вдоль волокон, рассчитанные с учётом

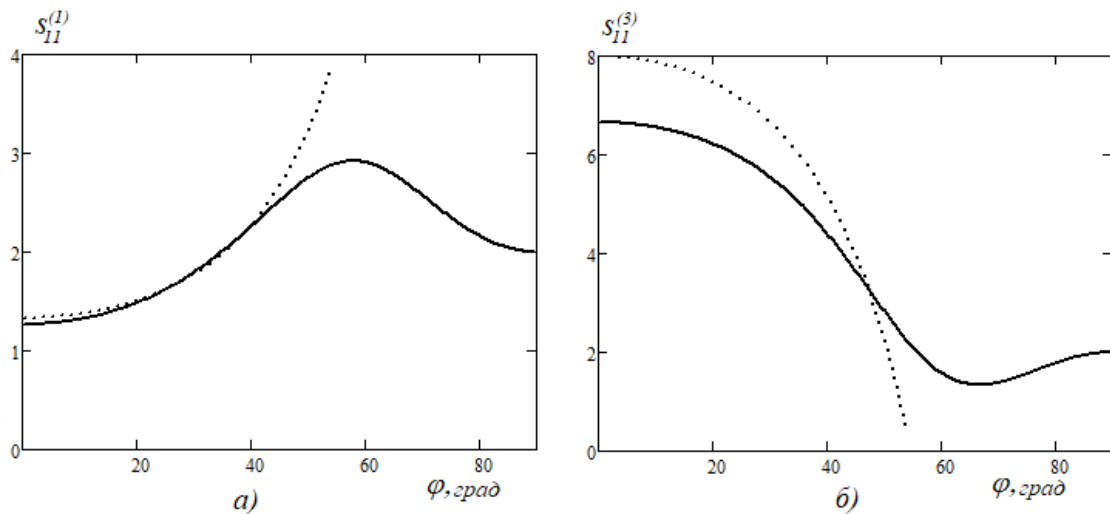


Рис.1.11. Графики зависимости нормированных значений нормальных напряжений в направлении армирования для многослойного композита со схемой армирования $[(\pm\varphi)_m / 90_k^0]$

от угла φ при $\delta_c=0,75$, $\delta_k=0,25$

(— — с учётом несущей способности связующего, — нитяная модель)

несущей способности связующего, изменяются немонотонно и при $\varphi \rightarrow \pi/2$, как и следовало ожидать, принимают конечные значения.

Для справки на рис.1.12 показаны графики зависимости нормальных напряжений в направлении поперёк волокон и касательных напряжений в

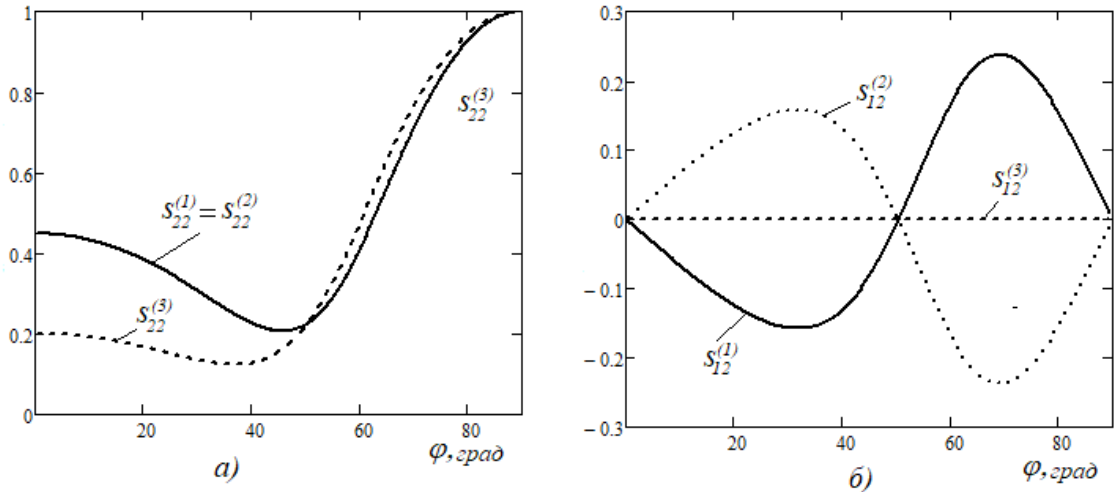


Рис.1.12. Графики зависимости нормированных значений нормальных напряжений в направлении поперёк волокон (а) и касательных напряжений в плоскости армирования (б) для многослойного композита со схемой армирования $[(\pm\varphi)_m / 90_k^0]$ от угла φ при $\delta_c=0,75$, $\delta_k=0,25$ с учётом несущей способности связующего

плоскости армирования. Можно отметить, что в моно слоях многослойного КМ напряжения поперёк волокон и касательные напряжения в плоскости армирования значительно меньше, чем напряжения вдоль волокон. Этим и обусловлено применение нитяной модели в расчётах, в которой как раз и утверждается, что напряжениями $\sigma_{22}^{(i)}$ и $\sigma_{12}^{(i)}$ можно пренебречь по сравнению с напряжениями $\sigma_{11}^{(i)}$, действующими вдоль волокон.

Вопросы для самоподготовки

1. Сравнить величины $E_x(0)$, $E_x(\pi/2)$ и $E_y(0)$, $E_y(\pi/2)$, определенные в случае а) пренебрежения несущей способности связующего, т.е. при использовании нитяной модели и б) в случае учёта несущей способности связующего.
2. Сравнить величины $v_{xy}(0)$, $v_{xy}(\pi/2)$ и $v_{yx}(0)$, $v_{yx}(\pi/2)$, определенные в случае: а) пренебрежения несущей способности связующего, т.е. при использовании нитяной модели и б) в случае учёта несущей способности связующего.
3. Определить угол армирования ϕ_0 , при котором многослойный композит со схемой армирования $[(\pm\phi)/90^\circ]$ будет квазиизотропным. При каком условии это возможно?
4. Доказать непротиворечивость формулы (1.37), т.е. её правая часть меньше единицы для любых значений δ_c и δ_k .
5. Доказать, что для любых значений δ_c и δ_k выполняется неравенство $\phi_3 < \pi/4$.
6. Построить графики зависимости напряжений в монослоях многослойного композита со схемой армирования $[(\pm\phi)/90^\circ]$ для случаев: а) одноосного растяжения в направлении оси OX , б) для чистого сдвига в плоскости OXY (см.рис.1.9).

Рассмотреть варианты: а) пренебрежения несущей способности связующего, т.е. при использовании нитяной модели и б) в случае учёта несущей способности связующего.

7. Почему в монослое, деформирующемся в составе многослойного КМ, нормальные напряжения поперёк волокон и касательные напряжения в плоскости армирования всегда значительно меньше, чем нормальные напряжения вдоль волокон?